

Microbending 효과를 이용한 다점 압력계측시스템의 설계
(Design of multipoint FOS pressure measurement system
using microbending effect)

강기호, 김명식, 김형곤, 오명환
(KAIST, 계측소자연구실)

I. 서 론

Microbending 주기에 따른 다중모드 광섬유의 광손실 변화에 대한 이론은 1973년 D. Marcuse에 [1] 의해 제시되었다. 여기서, 광섬유의 도파광손실 정도는 광섬유 축 방향에 가해지는 압력에 의한 광섬유 변위의 주기와 변위의 크기에 의해 정해지며 이때 변위 정도는 광섬유의 재질과 쿄아 반경, 블래드 반경, 광섬유에 가해지는 외부 작용힘에 의해 결정된다.

본 고에서는 Marcuse 이론을 토대로 Graded 굴절률 분포 다중모드 광섬유(GI)가 주기적으로 microbending될 때 유기되는 도파 광손실 정도를 computer simulation을 통해 계산하고, 그 결과를 이용해 압력센서로서의 최적치를 설정한 다음, 2 점 압력 계측 시스템을 설계하였다. 센서 array는 TDM을 하기 위해 ladder type으로 구성하고 선호처리를 위해서는 computer (IBM-PC/AT)와의 접속을 위해 A/D board (DT사 DT2821)를 사용하였다.

II. 이론적 검토 및 계산 모델

1. 변위함수의 유도

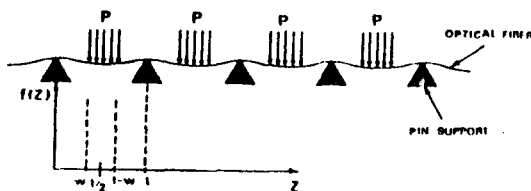
Microbending에 의한 parabolic-index profile 다중모드 광섬유의 광손실 이론[1]에서 광섬유가 X 축과, Z 축 방향으로 $f(z)$ 로 변위되며 인접한 모드간의 coupling이 다른 모드간의 coupling보다 클 때 (p, q) 모드와 $(p \pm 1, q)$ 모드간의 wave coupling 계수 R 은 다음과 같다.

*본 발표 논문은 과학기술처 특정연구 개발과제와 관련입니다.

$$\hat{R}_{p,p; p_{\pm 1,q}} = \sqrt{2} \left(\frac{n_1 k_0 \sqrt{\Delta}}{a} \right)^{\frac{1}{2}} \cdot \frac{\sqrt{p \cdot \Delta}}{a} \cdot \frac{df(z)/dz}{(p_{p,q} - p_{p \pm 1,q})} \quad (1)$$

여기서, a 는 광섬유 쿄아반경, n_1 는 쿄아중심 굴절률, n_2 는 몰래드의 굴절률, $\beta_{p,q}$ 는 (p, q) 모드의 전파상수, k_0 는 진공중 빛의 전파 상수, \vec{p} 는 모드들에 의해 전송되는 power, $\Delta = (n_1^2 - n_2^2)/2 n_1^2$ 이다.

광섬유가 주기 1 간격으로 외부힘에 의한 변위식 $f(z)$ 는 (파대 처짐이 없을 경우 [2]) 다음과 같다.



(The width of Press P = $(l - 2w)$)

< 그림 1. 광섬유에 압력 p 가 수직 방향으로 가해질 때 생기는 광섬유 변위 >

그림 1과 같이 압력 p 가 광섬유에 주기적으로 가해지는 경우 하나의 보 (beam)에서 광섬유 변위를 구하면 다른 보에서의 변위 함수는 동일하게 표시된다. 하나의 보에 대하여 임의 Z 점에서의 변위 $f(z)$ 의 곡률 방정식 [3-5]은

$$- E I \frac{d^2 f(z)}{dz^2} = M(z) \quad (2)$$

여기서 E 는 Young 틀, I 는 광섬유의 판성 모멘텀, $M(z)$ 는 z 점에서 광섬유의 bending 모멘텀이다. F 는 외부에서 광섬유에 작용하는 전체 힘, L 은 microbending을 받는 전체 광섬유 길이라고 하면 압력은 다음 식으로 표시된다.

$$P = \frac{F}{L(1 - z\omega/L)} \quad (3)$$

$M(z)$ 는 다음과 같다.

$$i) 0 < z < W : M(z) = \bar{p} - M_0$$

$$ii) W < z < L : \bar{p} \cdot z - M_0 - P(z-W)/2 \quad (4)$$

여기서 $\bar{p} = p(1/2-W)$

M_0 는 $Z=0$ 점에서 광섬유에 가해지는 bending 모멘텀이다. (4)식의 결과를 (2)에 대입하고 $z=0$ 와 $W, L/2$ 에서의 경계조건들을 사용하면 $f(z) \sim (1, F)$ 인데, 이를 I 의 함수로서 Fourier series로 전개하면

$$f(z) = d_0 + \sum_{n=1}^{\infty} d_n \cos \left(\frac{2\pi n}{L} \cdot z \right)$$

여기서 $d_n = \frac{(-1)^{n+1} P}{E \cdot I} \cdot \left(1 - \frac{z - \sin(\pi \cdot n / L)}{\pi \cdot n} \right) \cdot \left(\frac{L}{2\pi n} \right)^4$ 이 되었다.

따라서

$$\frac{df(z)}{dz} = \frac{2\pi}{L} \sum_{n=1}^{\infty} d_n \cdot n \cdot \sin \left(\frac{2\pi n}{L} \cdot z \right) \quad (5)$$

2. 평균 광손실 계수의 유도

시(1)에서

$$\hat{R}_{P_1, g; P_2, g} \equiv R_{P_1, g; P_2, g} \frac{df(z)}{dz} \text{로 두면 power coupling 계수}$$

h 는 다음의 관계로 표현된다. [6]

$$h_{p,q; p^{\pm 1}, q} = |R_{p,q; p^{\pm 1}, q}|^2 < |F(\beta_{p,q} - \beta_{p^{\pm 1}, q})|^2 > \quad (7)$$

여기서

$$F(\beta_{p,q} - \beta_{p^{\pm 1}, q}) = \left| \frac{1}{\sqrt{L}} \int_0^L \frac{df(z)}{dz} \cdot \exp \left\{ -i(\beta_{p,q} - \beta_{p^{\pm 1}, q}) \cdot z \right\} dz \right|$$

식(7)에서 (p,q) 모드에서 $(p \pm 1, q)$ 모드로의 coupled power 방정식은

$$\frac{d\vec{P}_{p,q}}{dz} = -\alpha_{p,q} \vec{P}_{p,q} + \sum_{\nu=1}^N h_{p,q; p^{\pm \nu}, q} (\vec{P}_{p^{\pm \nu}, q} - \vec{P}_{p,q}) \quad (8)$$

로 표시된다. ($\alpha_{p,q}$ 는 자체 모드의 normal 광손실 계수)

식(8)의 해는

$$\vec{P}_{p,q} = \vec{P}_{0,p,q} e^{(\alpha_{p,q} + \sigma_{p,q}) \cdot z} \quad (9) \quad \text{이다.}$$

평균 광손실 계수는 다음과 같다. [7]

$$\bar{\sigma} = \frac{2 \cdot \eta}{\alpha^2} F(\Delta\beta)$$

($\Delta\beta$ = 근접 모드간의 광섬유 전파 상수 차이)

$$= \frac{2 \cdot \eta \pi^2 L}{\alpha^2 \cdot \ell^2} \left\{ \left[\sum_{n=1}^{\infty} n \cdot d_n \left(\frac{1 - \cos(2\pi(n/\ell + 1/\lambda_c)L)}{2\pi \cdot (N/\ell + 1/\lambda_c)} + \frac{1 - \cos(2\pi \cdot (N/\ell - 1/\lambda_c)L)}{2\pi \cdot (N/\ell - 1/\lambda_c)} \right) \right]^2 \right. \\ \left. + \sum_{n=1}^{\infty} n \cdot d_n \left(\frac{\sin(2\pi \cdot (N/\ell + 1/\lambda_c)L)}{2\pi \cdot (N/\ell + 1/\lambda_c)} - \frac{\sin(2\pi \cdot (N/\ell - 1/\lambda_c)L)}{2\pi \cdot (N/\ell - 1/\lambda_c)} \right)^2 \right\}$$

$$(\lambda_c = 2\pi a / \sqrt{2\alpha})$$

따라서 Transmission Power Loss

power in bended fiber

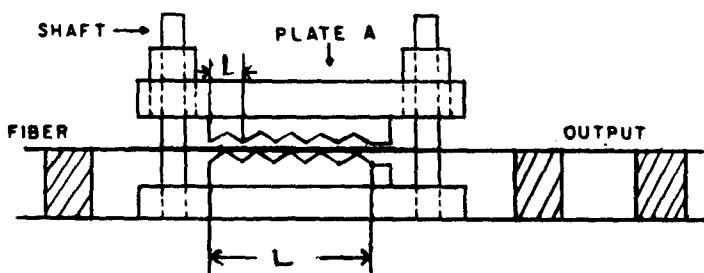
$$TPL = (1 - \frac{\text{power in bended fiber}}{\text{power in nobended fiber}}) \times 100 = (1 - e^{-\bar{\sigma} L}) \times 100(\%)$$

III. Computer Simulation

1. 광섬유의 명세 (금성전선 제품)

- 코아 중심 / 블래드 굽침률 = $1.473046/1.458$
- 코아 / 블래드 직경 = $50/125 \text{ [um]}$
- Coating material : polyvinyl
- Young 둘 = $6.23 \times 10 \text{ [N/mm]}$

2. 제작된 마이크로 디포머의 명세



< 그림 2. 제작된 마이크로 디포머 >

* $l=0.1 - 10 \text{ (mm)}$

* $L=2.4 \text{ (cm)}$

3. 계산결과

정확한 결과는 현재 수행중이나, $F[N]$ 을 매개변수로 하고 I 을 변수로 했을때 TPL은 주기성을 보이고 있고 (여기서, 민감도가 좋은 디보머의 설계치 설정이 가능함), I 을 매개변수로 하고 F 를 변수로 했을때 TPL은 F 의 어느 범위내에서 [2] 10 [N] 정도의 정밀도를 갖고 있음을 볼 수 있다.

IV. 검토 및 결론

정확한 시뮬레이션 결과는 현재 수행중이지만, 다중모드 광섬유, Micro-bending 효과를 이용한 압력계는 그정밀도나 신뢰성 및 가격 등에서 유리한 점이 많을 것으로 사료된다. 현재 제작 및 구성중인 2점 압력 계측시스템에 직접 이용하여 그 가능성을 보이게 될 것이다.

< 참고문헌 >

- [1] D. Marcuse, "Losses & impulse response of a parabolic index fiber with random bends," B.S.T.J., vol.52, no.12, pp.1423-1437, Oct.1973
- [2] Kyung Mog Lee et al., "A study of the power loss in the multimode optical fiber microbended into arbitrary shape", J. of KITE, pp.149-153, vol.24, Jul.1987
- [3] A.C.Ugural, "Advanced Strength & Applied Elasticity", D.Van Nostrand, N.Y., 1975
- [4] Crandall, Dahl, Lardener, "An introduction to the mechanics of solids", Mc Graw-Hill, 1972
- [5] S.P.Timoshenko, James M. Gere, "Mechanics of Materials" D. Van Nostrand, NY, 1972

- [6] J.N.Fields, "Attenuation of a parabolic index fiber with periodic bends",
Appl. Phys. Lett., vol.36, no.10, pp.799-801, May 1980
- [7] D.Gloge & E.A.J. Harcatili, "Multimode theory of Graded-core fibers",
B.S.T.J., vol.52, no.9, pp.1563-1578, Nov. 1973